

УДК 536.24+536.46 : 533.6

**ТЕПЛООБМЕН ПРИ КИНЕТИЧЕСКОМ ГОРЕНИИ
В ТУРБУЛЕНТНОМ ПОГРАНИЧНОМ СЛОЕ НА ПОРИСТОЙ
ПОВЕРХНОСТИ**

В. Л. ДОРОТ, Ю. В. ЛАПИН, М. Х. СТРЕЛЕЦ

(Ленинград)

Излагается метод расчета турбулентного слоя на пористой пластине при произвольной скорости химической реакции, протекающей между вдуваемым в пограничный слой веществом и окислителем, который содержится во внешнем потоке. В основу исследования положена двухслойная схема турбулентного пограничного слоя. Числа Прандтля и Шмидта принимаются постоянными поперек ламинарного подслоя и равными их значениям на стенке. Турбулентные аналоги этих чисел предполагаются равными единице. Приводятся результаты расчетов профилей концентраций и температур в пограничном слое, тепловых потоков на стенке и других параметров при вдуве окиси углерода в поток воздуха, в котором кислород полностью диссоциирован.

В большинстве теоретических работ, посвященных проблеме течения химически активных смесей в турбулентном пограничном слое на пористой поверхности, рассматриваются течения либо с реакциями только на поверхности [1-3], либо с реакциями в газовой фазе, протекающими с очень большими скоростями (диффузионное горение) [4-6]. В последнем случае зону реакции (фронт пламени) в пограничном слое можно считать бесконечно тонкой поверхностью по сравнению с толщиной пограничного слоя. На этой поверхности концентрации окислителя и горючего обращаются в нуль, а диффузионные потоки этих компонентов находятся в стехиометрическом соотношении.

Режимы течения, при которых скорость химической реакции (горения) соизмерима со скоростью переноса (диффузии) компонент в пограничном слое остаются мало исследованными. Качественное описание таких режимов течения было дано в известной работе Я. Б. Зельдовича [7]. В работе [8] был предложен метод расчета трения на плоской пористой пластине при произвольной скорости химической реакции, протекающей между вдуваемым в пограничный слой веществом и окислителем (кислородом), содержащимся во внешнем потоке. При этом числа Прандтля и Шмидта и их турбулентные аналоги принимались равными единице. Допущение о равенстве единице чисел Прандтля и Шмидта при расчете теплообмена (особенно если в пограничный слой вдуваются легкие компоненты, такие, например, как водород) может привести к неточным результатам. В этом случае необходим достаточно аккуратный учет влияния переносных свойств смеси в ламинарном подслое (вязкости, теплопроводности, диффузии) на тепло- и массообмен в пограничном слое.

В данной работе в отличие от работы [8] рассмотрение течения в пограничном слое ведется в предположении, что числа Прандтля и Шмидта постоянны поперек ламинарного подслоя и равны их значениям на поверхности пластины. Турбулентные аналоги чисел Прандтля и Шмидта здесь, так же как и в [8], принимаются равными единице. Химические реакции на поверхности предполагаются замороженными. При расчете диффузии в ламинарном подслое учитывается только массовая диффузия, а вкладом баро- и термодиффузии в перенос вещества пренебрегается. Влиянием диффузионного термоэффекта на перенос энергии также пренебрегается.

1. Постановка задачи. Рассмотрим обтекание газовым потоком плоской пористой пластины, сквозь поверхность которой в пограничный слой вдувается газообразное вещество, химически реагирующее с компонентами внешнего потока. Примем двухслойную схему турбулентного пограничного слоя (ламинарный подслой — турбулентное ядро).

Дифференциальные уравнения переноса энергии и вещества в ламинарном подслое, записанные в переменных Крокко, имеют вид [9]

$$\rho u \frac{\mu}{\tau} \frac{\partial H}{\partial x} + \frac{\partial \tau}{\partial u} \frac{\partial H}{\partial u} = \frac{\partial}{\partial u} \left\{ \tau \left[\frac{1}{P} \frac{\partial H}{\partial u} + \frac{1}{P} \sum_i (L_i - 1) (h_i + h_{i0}) \times \right. \right. \\ \left. \left. \times \frac{\partial c_i}{\partial u} + \left(1 - \frac{1}{P} \right) u \right] \right\}. \quad (1.1)$$

$$\rho u \frac{\mu}{\tau} \frac{\partial c_i}{\partial x} + \frac{\partial \tau}{\partial u} \frac{\partial c_i}{\partial u} = \frac{\mu}{\tau} w_i + \frac{\partial}{\partial u} \left(\frac{\tau}{S_i} \frac{\partial c_i}{\partial u} \right) \quad (1.2)$$

В турбулентном ядре в предположении о равенстве единице турбулентных аналогов чисел Прандтля и Шмидта те же уравнения в переменных Крокко записываются в форме [9]

$$\rho u \frac{\varepsilon}{\tau} \frac{\partial H}{\partial x} = \tau \frac{d^2 H}{\partial u^2} \quad (1.3)$$

$$\rho u \frac{\varepsilon}{\tau} \frac{\partial c_i}{\partial x} = \frac{\varepsilon}{\tau} w_i + \tau \frac{\partial^2 c_i}{\partial u^2} \quad (1.4)$$

Здесь x и u соответственно координата и составляющая скорости вдоль пластины, ρ — плотность газа, τ — напряжение трения, μ и ε — коэффициенты динамической и турбулентной вязкости, c_i — массовая концентрация i -й компоненты, w_i — массовая скорость образования i -й компоненты в единице объема, $S_i = \mu / \rho D_i$ — эффективное число Шмидта, $L_i = \rho D_i c_p / \lambda$ — эффективное число Льюиса, $P = \mu c_p / \lambda$ — число Прандтля, λ — коэффициент теплопроводности смеси, c_p — удельная теплоемкость смеси при постоянном давлении, D_i — эффективный коэффициент диффузии [9], h_i — энтальпия i -й компоненты, T — температура газа, c_{pi} — удельная теплоемкость i -й компоненты при постоянном давлении, H — полная энтальпия газа, выражаемая равенством

$$H = h + \frac{1}{2} u^2, \quad h = \sum_i c_i (h_i + h_{i0}), \quad h_i = c_{pi} T \quad (c_{pi} = \text{const}) \quad (1.5)$$

h_{i0} — энтальпия образования i -й компоненты при стандартных условиях.

Для установления приближенной связи между профилями полной энтальпии, концентраций и скоростей примем упрощающее допущение о локальном подобии ($\partial c_i / \partial x = \partial H / \partial x = 0$) [9], а также будем считать, что числа Прандтля и Шмидта постоянны поперек ламинарного подслоя и равны их значениям на стенке, т. е.

$$P = \text{const} = P_w, \quad S_i = \text{const} = S_{iw}.$$

В этом случае исходные уравнения (1.1) — (1.4) упрощаются и принимают вид

$$\frac{d\tau^\circ}{dU} \frac{dH^\circ}{dU} = \frac{dq^\circ}{dU}, \quad \tau^\circ = \tau / \tau_w, \quad H^\circ = H / h_\infty, \quad U = u / u_\infty \quad (1.6)$$

$$q^\circ = \frac{\tau_i^\circ}{P} \left[\frac{dH^\circ}{dU} + \sum_i (L_i - 1) (h_i^\circ + h_{i0}^\circ) \frac{\partial c_i}{\partial U} + (P - 1) (\gamma - 1) M_\infty^2 U \right] \\ \frac{d^2 c_i}{dU^2} = \frac{(S_i - 1)}{\tau^\circ} \frac{d\tau^\circ}{dU} \frac{dc_i}{dU} - S_i u_\infty^2 \frac{\mu}{\tau^2} w_i \quad (1.7)$$

в ламинарном подслое, и

$$\frac{d^2 H^\circ}{dU^2} = 0 \quad (1.8)$$

$$\frac{d^2 c_i}{dU^2} = - u_\infty^2 \frac{\varepsilon}{\tau^2} w_i \quad (1.9)$$

в турбулентном ядре. Здесь M — число Маха, $\gamma = c_p / c_v$, c_v — удельная теплоемкость смеси при постоянном объеме, индексом ∞ обозначены параметры на внешней границе пограничного слоя.

Границные условия для уравнений (1.6) — (1.9) могут быть записаны в виде

$$\begin{aligned} H^\circ &= H_w^\circ, \quad c_i = c_{iw} \quad \text{при } U = 0, \\ H^\circ &\rightarrow H_\infty^\circ, \quad c_i \rightarrow c_{i\infty} \quad \text{при } U \rightarrow 1 \end{aligned} \quad (1.10)$$

К условиям (1.10) необходимо добавить условие сохранения i -й компоненты на стенке [9]

$$\left(\frac{dc_i}{dU} \right)_w = S_i B [c_{iw} - (c_{iw})_-], \quad B = \frac{\rho_w v_w u_\infty}{\tau_w} \quad (1.11)$$

Здесь B — параметр вдува, v — скорость по нормали к поверхности пластины; индексом w обозначены параметры на стенке; $(c_{iw})_-$ — концентрация i -й компоненты внутри стенки.

Для напряжения трения τ в пограничном слое примем обычное допущение о линейной зависимости τ от скорости

$$\tau^\circ = \tau / \tau_w = 1 + BU \quad (1.12)$$

2. Связь между профилями концентраций и скоростей. Принимая во внимание соотношение (1.12), проинтегрируем формально уравнение (1.7) дважды. Определяя постоянные интегрирования из граничных условий (1.10) и (1.11), после несложных преобразований получим следующее выражение для профиля концентраций i -й компоненты в ламинарном подслое (при $U \leqslant U_l$):

$$c_i = c_{iw} (1 + BU) + B (S_i - 1) [K_{li}(U) + BI_{li}(U)] - S_i [J_{li}(U) + B(c_{iw})_-] \quad (2.1)$$

Здесь

$$\begin{aligned} K_{li}(U) &= \int_0^U \frac{c_i dU}{1 + BU}, \quad I_{li}(U) = \int_0^U dU \int_0^U \frac{c_i dU}{(1 + BU)^2} \\ J_{li}(U) &= (u_\infty^2 / \tau_w) \int_0^U dU \int_0^U \frac{(\mu / \tau) w_i}{1 + BU} dU \end{aligned} \quad (2.2)$$

Индексом l здесь и далее обозначаются параметры на границе ламинарного подслоя и турбулентного ядра.

Для установления связи между профилями концентраций и скоростей в турбулентном ядре проинтегрируем уравнение (1.9) дважды. Определяя постоянные интегрирования из условия на внешней границе ($c_i \rightarrow c_\infty$ при $U \rightarrow 1$) и условия равенства диффузионных потоков i -й компоненты на границе ламинарный подслой — турбулентное ядро

$$\frac{1}{S_i} \left(\frac{dc_i}{dU} \right)_{l=0} = \left(\frac{dc_i}{dU} \right)_{l=0} \quad (2.3)$$

будем иметь (при $U \geqslant U_l$)

$$\begin{aligned} c_i &= c_{i\infty} - \left\{ \frac{B}{S_i} \left[c_{iw} + \frac{(S_i - 1) c_{il}}{1 + BU_l} \right] + B [BI_{li}(U_l) - (c_{iw})_-] - \right. \\ &\quad \left. - J_{li}(U_l) \right\} (1 - U) + J_{ti}(1) - J_{ti}(U) \end{aligned} \quad (2.4)$$

Здесь

$$\begin{aligned} \dot{I}_{li}(U) &= \int_0^U \frac{c_i dU}{(1+BU)^2}, \quad \dot{J}_{li}(U) = (u_\infty^2 / \tau_w) \int_0^U \frac{(\mu/\tau) w_i}{1+BU} dU \\ J_{ti}(U) &= (u_\infty^2 / \tau_w) \int_{U_l}^U dU \int_{U_l}^U \frac{(\varepsilon/\tau) w_i}{1+BU} dU \\ c_{il} &= \left\{ c_{i\infty} + J_{ti}(1) - \left[B c_{iw} / S_i - B(c_{iw})_- + \left(1 - \frac{1}{S_i}\right) B^2 \dot{I}_{li}(U_l) - \right. \right. \\ &\quad \left. \left. - J_{li}(U_l) \right] (1-U_l) \right\} \left\{ 1 - \left(1 - \frac{1}{S_i}\right) \frac{B(1-U_l)}{1+BU_l} \right\}^{-1} \end{aligned} \quad (2.5)$$

Приравнивая правые части соотношений (2.1) и (2.4) на границе ламинарного подслоя и турбулентного ядра и разрешая полученное равенство относительно c_{iw} , найдем значение концентраций i -й компоненты на стенке

$$\begin{aligned} c_{iw} &= \frac{S_i(1+B) - B(1-U_l)}{S_i(1+BU_l)(1+B)} \left\{ \left[c_{i\infty} + \left[B(c_{iw})_- - \left(1 - \frac{1}{S_i}\right) B^2 \dot{I}_{li}(U_l) + \right. \right. \right. \\ &\quad \left. \left. + J_{li}(U_l)(1-U_l) + J_{ti}(1) \right] \left[1 + \left(1 - \frac{1}{S_i}\right) \frac{B(1-U_l)}{1+BU_l} \right]^{-1} + BS_i(c_{iw})_- U_l - \right. \\ &\quad \left. \left. \left. - (S_i - 1) \times B [K_{li}(U_l) + BI_{li}(U_l)] + S_i J_{li}(U_l) \right] \right\} \end{aligned} \quad (2.6)$$

При $S_i = 1$ выражения (2.1) и (2.6) переходят в соответствующие выражения работы [8].

Вводя универсальные координаты

$$\eta = yv_* / v_w, \quad \varphi = u / v_*, \quad v_* = (\tau_w / \rho_w)^{1/2}, \quad \zeta = u_\infty / v_* \quad (2.7)$$

преобразуем интегральные комплексы $J_{li}(U)$, $\dot{J}_{li}(U)$, $J_{ti}(U)$ к виду

$$\begin{aligned} J_{li}(U) &= \frac{\zeta^2 v_w}{\tau_w} \int_0^U dU \int_0^U \frac{w_i}{1+BU} \dot{\eta}_l dU \\ \dot{J}_{li}(U) &= \frac{\zeta^2 v_w}{\tau_w} \int_0^U \frac{w_i}{1+BU} \dot{\eta}_l dU \\ J_{ti}(U) &= \frac{v_w \zeta^2}{\tau_w} \int_{U_l}^U dU \int_{U_l}^U \frac{w_i}{1+BU} \dot{\eta}_t dU \end{aligned} \quad (2.8)$$

Здесь величины

$$\dot{\eta}_l = \left(\frac{d\eta}{d\varphi} \right)_l, \quad \dot{\eta}_t = \left(\frac{d\eta}{d\varphi} \right)_t$$

определяются так же, как и в работе [8]

$$\begin{aligned} \eta_l &= (1+BU)^{-1} \\ \dot{\eta}_l &= \kappa a \exp \left[\kappa \zeta \int_{U_l}^U \left(\frac{\rho / \rho_w}{1+BU} \right)^{1/2} dU \right] \quad (\kappa = 0.4, a = 11.5) \end{aligned} \quad (2.9)$$

κ , a — эмпирические постоянные турбулентности, а v_w — коэффициент кинематической вязкости на стенке.

Значение скорости на границе ламинарного подслоя может быть найдено по формуле [9]

$$(1+BU_l)^{1/2} \ln(1+BU_l) = B(a/\zeta) \quad (2.10)$$

Массовая скорость образования i -й компоненты w_i , являющаяся в общем случае функцией температуры, состава смеси и давления, может быть найдена с точностью до определяемых из опыта постоянных на основе формальной химической кинетики [9].

3. Связь между профилем полной энталпии и профилем скоростей. Зависимость полной энталпии от скорости в ламинарном подслое будем искать в виде ряда по степеням продольной скорости U . Принимая во внимание, что $U < 1$, ограничимся тремя членами ряда

$$H^o = a_0 + a_1 U + a_2 U^2 \quad (3.1)$$

Используя условия на поверхности, найдем

$$a_0 = H_w^o, \quad a_1 = \left(\frac{dH^o}{dU} \right)_w, \quad a_2 = \frac{1}{2} \left(\frac{d^2H}{dU^2} \right)_w \quad (3.2)$$

Интегрируя уравнение (1.6) с учетом равенства (1.12), получим

$$q^o = q_w^o + B(H^o - H_w^o) \quad (3.3)$$

где

$$q_w^o = \frac{1}{P} \left(\frac{dH^o}{dU} \right)_w + \Gamma_1, \quad \Gamma_1 = \sum_i (L_i - 1) (h_{iw}^o + h_{i0}^o) \left(\frac{dc_i}{dU} \right)_w \quad (3.4)$$

а q^o — обобщенный тепловой поток.

Используя соотношение (3.2) и (3.4), найдем выражение для коэффициента a_1

$$a_1 = Pq_w^o - \Gamma_1 \quad (3.5)$$

Выражение для коэффициента a_2 получим, продифференцировав по U уравнение (1.6) и затем положив $U = 0$. В итоге будем иметь

$$a_2 = \frac{1}{2} \{ q_w^o P [B(P - 1) - \Gamma_3] - \Gamma_1 (BP - \Gamma_3) + \Gamma_2 \Gamma_3 - B\Gamma_4 - (P - 1)(\gamma - 1) M_\infty^2 \}, \quad \Gamma_2 = \sum_i (h_{iw}^o + h_{i0}^o) \left(\frac{dc_i}{dU} \right)_w$$

$$\Gamma_3 = \frac{1}{c_{pw}} \sum_i (L_i - 1) c_{pi} \left(\frac{dc_i}{dU} \right)_w, \quad \Gamma_4 = \sum_i (L_i - 1) (S_i - 1) (h_{iw}^o + h_{i0}^o) \left(\frac{dc_i}{dU} \right)_w$$

Подставляя значения коэффициентов a_0 , a_1 и a_2 в (3.1), получим соотношение, связывающее профиль скоростей и профиль полных энталпий в ламинарном подслое

$$H^o = H_w^o + (Pq_w^o - \Gamma_1)U + \{ q_w^o P [B(P - 1) - \Gamma_3] - \Gamma_1 (BP - \Gamma_3) + \Gamma_2 \Gamma_3 - B\Gamma_4 - (P - 1)(\gamma - 1) M_\infty^2 \} U^2 / 2. \quad (3.7)$$

Для установления зависимости полной энталпии от скорости в турбулентном ядре дважды проинтегрируем уравнение (1.8). Постоянные интегрирования определим из условия на внешней границе ($H^o \rightarrow H_\infty^o$ при $U \rightarrow 1$) и условия равенства обобщенных тепловых потоков q^o на границе ламинарного подслоя [9]. В результате будем иметь

$$H^o = H_\infty^o - (1 + BU_l)^{-1} [q_w^o + B(H_l^o - H_w^o)] (1 - U) \quad (3.8)$$

Полагая в выражении (3.8) $U = U_l$ и разрешая полученное равенство относительно H_l^o , найдем

$$H_l^o = (1 + B)^{-1} [H_\infty^o (1 + BU_l) - (q_w^o - BH_w^o) (1 - U_l)] \quad (3.9)$$

Приравнивая значения H_l^o , определенные по формулам (3.9) и (3.7) на границе ламинарного подслоя, и разрешая полученное равенство относи-

тельно q_w° , получаем выражение для безразмерного теплового потока на стенке

$$\begin{aligned} q_w^{\circ} = & \frac{1}{2} \{(H_{\infty}^{\circ} - H_w^{\circ})(1 + BU_l)(1 + B)^{-1} + \Gamma_1 U_l + [(BP - \Gamma_3)(\Gamma_1 - \Gamma_2 \Gamma_3 + \\ & + B \Gamma_4 + (P - 1)(\gamma - 1) M_{\infty}^2)] U_l^2\} \{PU_l + P[B(P - 1) - \Gamma_3] \\ & U_l^2 / 2 + (1 - U_l)(1 + B)^{-1}\}^{-1} \end{aligned} \quad (3.10)$$

4. Распределение температуры и плотности в пограничном слое. По известным распределениям полной энталпии H° и концентраций и соотношениям (1.5) найдем распределение температуры в пограничном слое

$$T = \left[\left(H^{\circ} - \frac{u_{\infty}^{\circ}}{h_{\infty}} \frac{U^2}{2} \right) h_{\infty} - \sum_i c_i h_{i0} \right] \left[\sum_i c_i c_{pi} \right]^{-1} \quad (4.1)$$

Используя условие постоянства давления поперек пограничного слоя, уравнение состояния для смеси газов

$$p = \rho RT \sum_i \frac{c_i}{m_i} \quad (4.2)$$

получим распределение плотности в пограничном слое

$$\frac{\rho}{\rho_{\infty}} = \frac{T_{\infty}}{T} \left(\sum_i \frac{c_{i\infty}}{m_i} \right) \left(\sum_i \frac{c_i}{m_i} \right)^{-1} \quad (4.3)$$

Здесь R — универсальная газовая постоянная, m_i — молекулярный вес i -й компоненты.

5. Определение коэффициентов переноса. В данной работе при проведении конкретных расчетов коэффициент динамической вязкости многокомпонентной смеси определялся по формуле Уилки [10]. Коэффициент теплопроводности многокомпонентной смеси рассчитывался по формуле Масона и Саксены [10]. Коэффициенты вязкости и теплопроводности чистых газов находились по известным формулам кинетической теории газов [11].

Эффективные коэффициенты диффузии определялись по соотношениям, предложенными Г. А. Тирским [12]. С учетом условия сохранения i -й компоненты на стенке (1.11) эти соотношения имеют вид

$$\begin{aligned} \frac{1}{D_{iw}} = & \sum_{j=1}^N \frac{c_{jw} m}{D_{ij} m_j} \left\{ 1 - \frac{c_{iw} [c_{jw} - (c_{jw})_-]}{c_{jw} [c_{iw} - (c_{iw})_-]} \right\} + \frac{c_{iw}}{c_{iw} - (c_{iw})_-} \times \\ & \times \sum_{k=1}^N c_{kw} \sum_{j=1}^N \frac{c_{jw} m}{D_{kj} m_j} \left[\frac{(c_{kw})_-}{c_{kw}} - \frac{(c_{iw})_-}{c_{iw}} \right], \quad m = \left(\sum_i \frac{c_i}{m_i} \right)^{-1} \end{aligned} \quad (5.1)$$

Коэффициенты диффузии бинарной смеси D_{ij} , входящие в равенство (5.1), определялись по формулам кинетической теории газов [11].

6. Расчет трения. Расчет коэффициента трения c_f на плоской пластине может быть произведен по соотношениям [9]

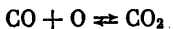
$$\begin{aligned} \frac{c_f}{c_{f0}} = & \left(\frac{FK}{2N} \right)^2, \quad c_{f0} = 0.0263 R_x^{-1/2}, \quad R_x = u_{\infty} \rho_{\infty} x / \mu_{\infty} \\ F = & 0.242 c_{f0}^{-1/2}, \quad K = \int_0^1 \left(\frac{\rho / \rho_{\infty}}{1 + BU} \right)^{1/2} dU \end{aligned} \quad (6.1)$$

где N находится из решения трансцендентного уравнения

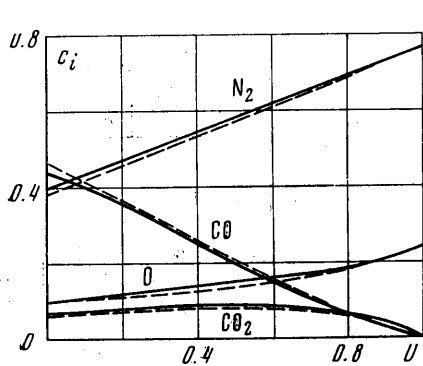
$$N + \lg N = \lg \frac{FK}{2} + \frac{F+G}{2}, \quad G = \lg \frac{\mu_{\infty}}{\mu_w} \quad (6.2)$$

7. Пример расчета. Изложенный метод расчета является методом последовательных приближений. Порядок расчета и сходимость метода практически остались такими же, как в ранее опубликованной работе [8], поэтому здесь подробно не описываются.

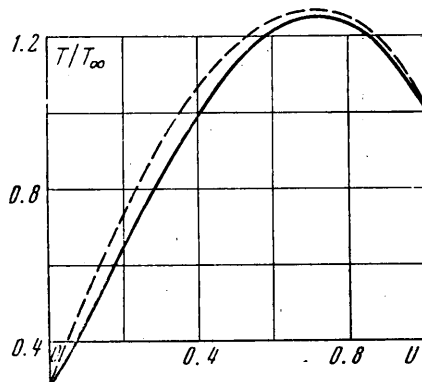
Для иллюстрации метода был проведен расчет турбулентного пограничного слоя на пластине при вдуве окиси углерода CO в поток воздуха, в котором кислород полностью диссоциирован. При этом рассматривалась только одна реакция



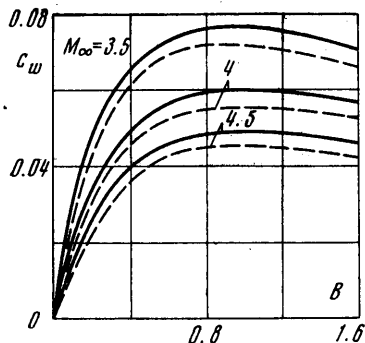
Необходимые для определения массовой скорости образования i -й компоненты w_i константы скоростей прямой и обратной реакции были заимствованы из работы [13].



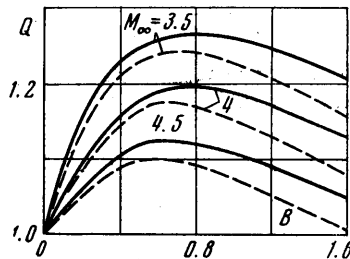
Фиг. 1



Фиг. 2



Фиг. 3



Фиг. 4

Результаты расчетов приведены на фиг. 1—6. Сплошные кривые на всех фигурах получены по изложенному выше методу, т. е. при $P = \text{const} = P_w$, $S_i = \text{const} = S_{iw}$, штриховые кривые получены по методу работы [8], т. е. при $P = S_i = 1$.

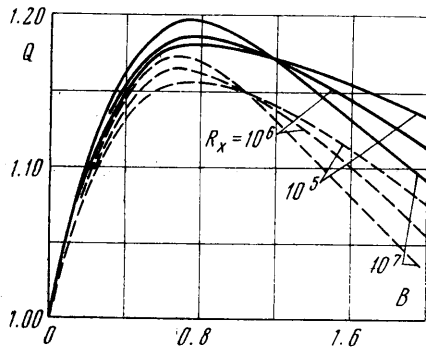
На фиг. 1—2 приведены профили концентраций и температур в пограничном слое, рассчитанные для условий

$$M_{\infty} = 4, \quad T_w = 700^\circ \text{K}, \quad T_{\infty} = 2500^\circ \text{K}, \quad B = 1$$

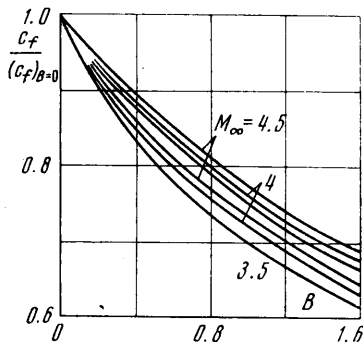
Как видно из графиков, отличие чисел Прандтля и Шмидта от единицы не оказывает заметного влияния на форму профилей.

На фиг. 3 представлена зависимость концентрации углекислого газа на стенке от параметра вдува B ($T_{\infty} = 2500^\circ \text{K}$, $T_w = 700^\circ \text{K}$, $\rho_{\infty} = 1 \text{ g/cm}^3$, $R_x = 10^7$) при различных значениях числа Маха набегающего потока M_{∞} . Небольшое по абсолютной величине различие в значениях концентрации CO_2 при $P \neq S_i \neq 1$ (сплошные линии) и $P = S_i = 1$ (штриховые линии) приводит к заметному различию тепловых потоков на стенке q_w , зависимость отношений Q которых к потоку при $B = 0$ от параметра вдува B , изображена фиг. 4 (для тех же условий, что и на фиг. 3). Указанное различие обусловлено большой величиной теплоты образования углекислого газа. Наличие максимумов теплового потока (фиг. 4) и концентрации CO_2 (фиг. 3) на стенке объясняется ограниченностью концентрации кислорода во внешнем потоке.

На фиг. 5 приведена зависимость величины Q от параметра вдува B ($M_\infty = 4$, $(Q = q_w / (q_w)_{B=0})$, $T_\infty = 2500^\circ \text{K}$, $T_w = 700^\circ \text{K}$, $\rho_\infty = 1 \text{ g/cm}^3$) при различных числах Рейнольдса.



Фиг. 5



Фиг. 6

Зависимость отношения C коэффициента трения на стенке к коэффициенту трения при $B = 0$ от параметра вдува, иллюстрирующая также влияние числа Маха M_∞ и числа Рейнольдса R_x , представлена на фиг. 6 (три верхние кривые относятся к $R_x = 10^6$, три нижние — к $R_x = 10^7$, цифры у кривых дают значение M_∞).

ЛИТЕРАТУРА

Поступило 15 I 1971

- Denison M. R. The turbulent boundary layer on chemically active ablating surfaces. J. Aero / Space Sci., 1961, vol. 28, No. 6, pp. 471—480.
- Сб. «Тепломассообмен и трение в турбулентном пограничном слое», Новосибирск, 1964.
- Совершенный В. Д. Многокомпонентный турбулентный пограничный слой на химически активной поверхности. Изв. АН СССР, МЖГ, 1968, № 6.
- Лапин Ю. В. Трение и теплообмен в скимаемом турбулентном пограничном слое при наличии химических реакций, обусловленных вводом инородного вещества. Ж. техн. физ., 1960, т. 30, № 10, стр. 1227—1237.
- Spalding D. B., Auslander D. M., Sunderam T. R. The calculation of heat and mass transfer through the turbulent boundary layer on a flat plate at high mach numbers, with and without chemical reaction. Supersonic Flow Chem. Proc. and Radiat. Trans. Oxford, London, New York, Paris, Frankfort, Pergamon Press., 1964, pp. 211—276.
- Максемен Г., Вулдридж К., Маззи Р. Основы теории горения в пограничном слое твердого горючего гибридного топлива. В сб. «Гетерогенное горение», М., «Мир», 1967.
- Зельдович Я. Б. К теории горения неперемешанных газов. Ж. техн. физ., 1949, т. 19, № 10, стр. 1199—1210.
- Дорот В. Л., Лапин Ю. В., Стрелец М. Х. Горение в турбулентном пограничном слое на пористой поверхности. Изв. АН СССР, МЖГ, 1970, № 3.
- Лапин Ю. В. Турбулентный пограничный слой в сверхзвуковых потоках газа. М., «Наука», 1970.
- Дорренс У. Х. Гиперзвуковые течения вязкого газа. М., «Мир», 1966.
- Гиршфельдер Дж., Кертисс Ч., Берд Р. Молекулярная теория газов и жидкостей. М., Изд-во иностр. лит., 1961.
- Тирский Г. А. Определение эффективных коэффициентов диффузии в ламинарном пограничном слое. Докл. АН СССР, 1963, т. 155, № 6, стр. 1278—1282.
- Heicklen J. Gas-phase chemistry of re-entry. AIAA Journal, 1967, vol. 5, No. 1.